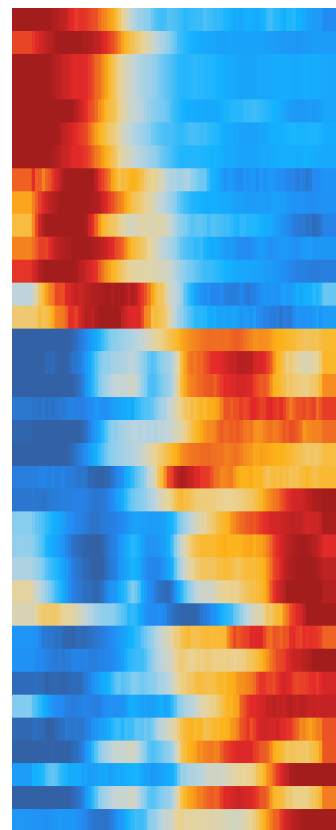


— chr1:PRDM16
 — chr1:TAL1
 — chr10:GATA3
 — chr10:GATA3-AS1
 — chr19:NFIX
 — chr3:MECOM
 — chr3:GATA2
 — chr17:HOXB1
 — chr19:LYL1
 — chr10:ZEB1-AS1
 — chr20:TCF15
 — chr8:SNAI2
 — chr13:KLF12
 — chr2:GLI2
 — chr8:CEBPD
 — chr19:FOSB
 — chr14:FOS
 — chr2:NR4A2
 — chr9:NFIL3
 — chr20:CEBPB
 — chr15:MEF2A
 — chr5:IRF1
 — chr1:ATF3
 — chr19:KLF2
 — chr9:KLF4
 — chr2:KLF11
 — chr10:NFKB2
 — chr17:NR1D1
 — chr11:IRF7
 — chr9:RXRA
 — chr22:XPB1
 — chr19:NR1H2
 — chr19:JUNB
 — chr21:ETS2
 — chr1:JUN
 — chr16:IRF8



— z:PRDM16_211
 — z:TAL1_62
 — z:GATA3_384
 — z:NFIX_738
 — z:MECOM_169
 — z:GATA2_388
 — z:HOXB1_448
 — z:LYL1_818
 — z:ZEB1_157
 — z:TCF15_46
 — z:SNAI2_161
 — z:KLF12_191
 — z:GLI2_167
 — z:CEBPD_152
 — z:FOSB_121
 — z:FOS_137
 — z:NR4A2_686
 — z:NFIL3_133
 — z:CEBPB_140
 — z:MEF2A_639
 — z:IRF1_629
 — z:ATF3_132
 — z:KLF2_846
 — z:KLF4_208
 — z:KLF11_847
 — z:NFKB2_714
 — z:NR1D1_673
 — z:IRF7_635
 — z:RXRA_695
 — z:XPB1_109
 — z:NR1H2_674
 — z:JUNB_139
 — z:ETS2_340
 — z:JUN_143
 — z:IRF8_633

GeneScoreMatrix

MotifMatrix

-1.5

1.5-1.5

1.5